

高等水产院校教学用书

海洋学

山东海洋学院 合編
山东水产学院

工业捕魚、水产养殖专业用

农业出版社



編 者 山東海洋學院 楊殿英
山東水產學院 汪炳祥
審查單位 山東海洋學院海洋學審查工作組

高等水產院校教學用書

海 洋 學

山東海洋學院合編
山東水產學院

農業出版社出版

北京老錢局一號

(北京市書刊出版業營業許可證出字第103號)

新华书店上海发行所发行 各地新华书店經售

上海洪興印刷廠印刷裝訂

統一書號 K 13144.135

1962年8月上海制型

开本 787×1092毫米

十六分之一

1962年8月初版

字數 221千字

1962年8月上海第一次印刷

印張 十又四分之三

印数 1—800册

插頁 四

定价 (9) 一元一角五分

目 录

第一章 海洋形态	1
§1-1 地球的形态	1
§1-2 水陆分布	1
§1-3 海洋的分类	3
§1-4 海洋底的地形和分区	4
第二章 海洋热学	7
§2-1 海洋热学概述	7
§2-2 太阳辐射	8
§2-3 海面的有效回辐射	10
§2-4 大气和海洋的热量交换	14
§2-5 海面的蒸发	14
§2-6 海洋内部的热交换	18
§2-7 海水温度的分布	19
§2-8 海水温度的变化	24
第三章 海水的盐度	31
§3-1 海水的氯度和盐度	31
§3-2 盐度的分布和变化	33
第四章 海水的密度	41
§4-1 海水密度与温度、盐度和压力的关系	41
§4-2 海水当量比容和当量密度的计算	44
§4-3 海水密度的分布和变化	45
第五章 海洋光学	49
§5-1 海水的光学性质	49
§5-2 水色和透明度	53
第六章 海冰	56
§6-1 海冰的性质	56
§6-2 海冰的成长，海洋中冰的类型	59
第七章 海流	61
§7-1 海流的基本概念及其分类	61

§7-2 与风有关的海流.....	61
§7-3 与密度分布有关的海流.....	67
§7-4 各大洋表层海流的分布.....	68
§7-5 大洋的垂直环流.....	70
§7-6 暖流和寒流.....	72
第八章 波浪.....	78
§8-1 波浪要素及其分类.....	78
§8-2 摆綫波理論.....	76
§8-3 风浪和涌.....	80
§8-4 近岸淺水中波浪的变化.....	91
第九章 潮汐.....	94
§9-1 預備知識.....	94
§9-2 潮汐現象及其要素.....	101
§9-3 引潮力和一些潮汐現象的解釋.....	103
§9-4 潮汐表的內容及其用法的說明.....	112
§9-5 推算潮时的簡易方法——八分算法.....	114
§9-6 推算高低潮間任意时的潮高方法.....	118
§9-7 潮流.....	122
§9-8 海流和潮流的分离.....	124
第十章 海洋沉积.....	127
§10-1 水圈对海底沉积过程的影响.....	127
§10-2 沉积物的組成.....	132
§10-3 海洋沉积的搬运.....	133
§10-4 海底各基本地形区的沉积形成作用.....	136
§10-5 沉积物的分类.....	137
§10-6 海洋沉积物的层理.....	142
附录 中国海的某些水文情况.....	143
§1 中国海的分区及各区的概况.....	143
§2 中国海的海流.....	145
§3 中国海的波浪.....	147
§4 中国海的潮汐.....	148
§5 黄渤海的水文概况.....	149
§6 东海的水文概况.....	159
§7 中国海的底质.....	166
参考文献.....	167

第一章 海洋形态

要更好的了解海洋水文情况，首先應該了解影响海洋水文情况的地理环境，亦即首先应当討論海洋形态。如地球的形态、水陆分布、海洋的分类、海洋的底形和分区等。

§1-1 地球的形态

地球是两极略为扁平，中間凸出的回轉椭球体。但它又并不完全和回轉椭球体一样。地球的自然表面与地球体的形状十分相近。所謂地球体是这样一种几何形体，它的表面处处与重力相垂直，处于完全平衡状态下的大洋表面就是这个地球体的表面的一部分，而地球体表面的其余部分，则是它的延續。不过，它与回轉椭球的形状相差很小，所以在大地測量工作中，一律将它当做回轉椭球体来进行計算。这个椭球体的长軸和短軸，根据 $\Phi.$ H. 克拉索夫斯基提出来的数据为：

$$\text{半長軸} \quad a = 6378.245 \text{ 千米}$$

$$\text{半短軸} \quad b = 6356.863 \text{ 千米}$$

长短两半軸相差 21.382 千米。地球的这个形状，就使得各个緯度上物体的重力加速度都不相同：随着緯度的增高而增大。地球外形是个球形，所以，太阳輻射在地球表面分布是不均匀的，正是由于这个不均匀性，就使得各个水文要素和气象要素的分布也不均匀，并从而引起大气的环流和大洋的环流。

如果把地球揉成一个圓球，则它的半徑（也就是地球的平均半徑）为 6,370 千米。如果有 一块半徑为 10 公里的圓板，平稳的放在地球上，则它的边缘离地面 0.82 厘米。

世界上最高的高峰是珠穆琅瑪峰，它的高度只有 8.882 千米；而世界上最深的地方，即太平洋西岸馬利亚納海沟，也不过 11 千米（根据苏联最近測得的深度为 11,034.250 米），这个数字和地球的半徑比起来，可以忽略不計，而认为它是光滑的球面。

§1-2 水陆分布

海洋的面积远比陆地大。我国古代就有三山六水一分田的說法。計算指出，在整个 510×106 平方千米的地球表面中，海洋就占 70.8%，为陆地面积所占 29.2% 的两倍半。如果用大陆把海洋填平，则地球表面将全被海水所复盖，其深度达 2,400 米。

如果再仔細的觀察一番，則將發現南北半球遙相对應的很多事實：

1. 北部陸地較南部為多。北半球陸地占水陸面積的 39.3%；而南半球只占 19.1%。

2. 北極為水，南極為陸。北冰洋的中央部分，其深度約大于 4,000 米，最大深度超過 5,000 米，且被大陸包圍着；而南極却是一塊 3,000 米以上的高原，最高處可達 5,000 米，四面為水所包圍。

3. 北半球的大陸几乎連成一片；南半球的大洋連成一條環繞地球的水帶。圖 1-2 中，指出了上述有關海陸分布的特點。

下面我們再來進一步的討論地殼表面（包括水上和水下）在各不同高度或深度上的面積分布情況。圖 1-3 中縱坐標表示高度及深度，橫坐標表示高度和深度的相當級所占的面積，

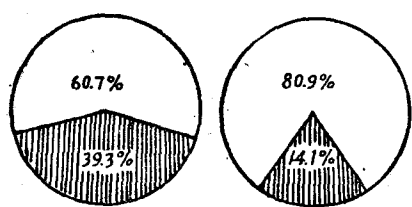


圖 1-1 南北半球水陸面積的比較

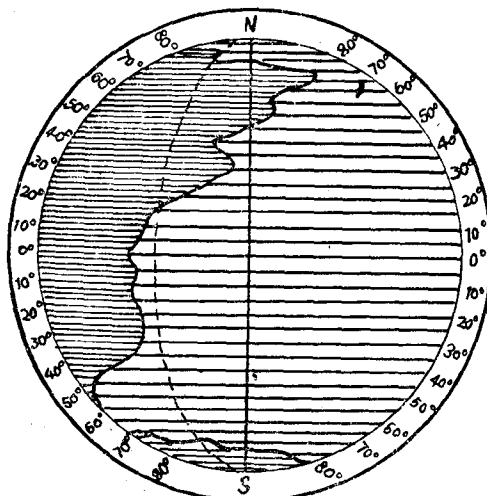


圖 1-2 各緯度帶的水陸面積比較

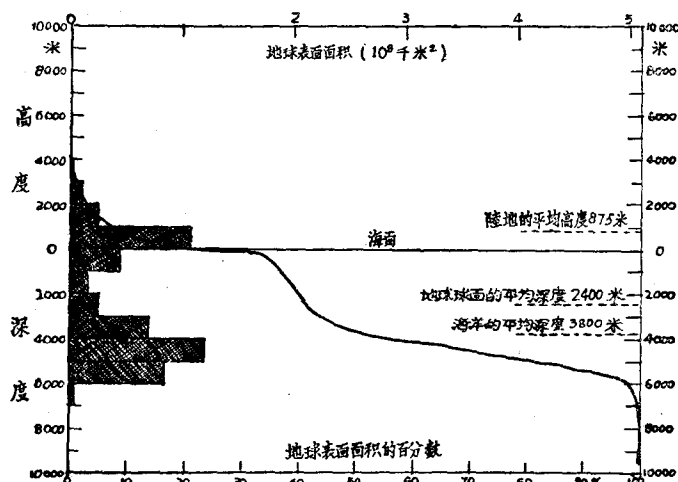


圖 1-3 地殼起伏統計曲線

上边表示絕對面积，下边表示相对面积；左边的方块表示某两个高度（深度）之間的面积的大小；曲綫是面积的統計曲綫，在它上面的任一点所对应的面积，就表示在这个点所对应的高（深度）以上的所有海陆面积的总和。由图看出对于陆地來說，1,000 米以內的面积最多；在海面以下，则以从 4,000 米到 5,000 米的深度所占的面积为最大。图中并指出了陆地的平均高度和海洋的平均深度。从图中还可以看出大陆棚，大陆斜坡，大洋盆地和海沟的深度范围和面积（关于这点，将在后面詳細討論）。

以上所指出的大陆高度和大洋深度都是从平均海平面算起的，所以下面我們順便介紹一下海平面的概念。

海平面是这样的一个理想的平面，在这个面上的任何地方，重力都与該面的法綫方向一致，也就是說，在这个面上，沒有重力的分力，因此，所謂海平面实际上也就是等位勢面。但是，由于地球的质量分布是不均匀的，因此，其重力的方向也就不大規則，这样，海平面与“地球体”的表面就不大一致。

在实际应用上，指的海平面是用水位的觀測資料进行統計而得到的。例如把一天中 24 小时的水位觀測值相加并除以 24，便得当天的日平均水位；一月之中的日平均水位相加并用一月的日数除，便得月的平均水位；类似的方法，可得出年的、多年的平均水位。

显然这些統計所根据資料的多少不同，所得到的平均海平面高度也不一样；但平常所說的某地的海平面，多是指用多年的資料統計而得的結果。

必須指出，实际的平均海平面不仅与上述重力的分布有关，而且还与风、海流、潮汐、水的密度、降水、蒸发、大陸徑流等因素有关。实际的海平面高度，就是这些因素作用的綜合結果。由于这些因素在各个不同海区多少有所区别，就使得它們的海平面高度也有一定的差异。例如巴拿馬运河两端、太平洋的海平面就比大西洋高 21 厘米；地中海的海平面比大西洋低 30 厘米，比黑海低 50 厘米；苏伊士运河两端、紅海的海平面也比地中海的为高。

海平面的高度通常是在水下取一固定点，这个点叫基准点（又称海图基准面）。海平面的高度（以及海图上表示的深度）就是从这个基准点算起。这个点的位置的取法，每个国家都不很一样，有的是取理論上的最低低潮面，有的是取平均最低低潮面等等。

为了大地測量上的方便，一般在海港碼头或建筑物的墙基上画一条綫，这条綫叫做标志（Bench Mark 簡称 B. M.），并标明它离开当地平均海面的高度。

§1-3 海洋的分类

根据海洋形态及水文特征的不同，我們可以把世界大洋分成主要的部分和附属的部分。主要的部分为洋，附属的部分为海、海湾、海峡。茲分述如下：

(一) 洋 它远离大陆，面积广闊，从大陆斜坡到大洋盆地都属洋的范围，約占整个海洋面积的 89%，深度最大，一般在二、三千米以上。由于上述特点它具有較高的盐度，表面平

均值約为 35%，水色高、透明度大；水文要素因为不受大陆的影响，比較稳定。在海水运动方面它有强大的海流系統，同时也有各自的潮汐系統。

(二) 海 位于大洋的边缘，大陆、半島、岛屿和群島等在不同程度上，将它与大洋分开，面积小，深度淺，一般多在二、三千米以内。因此，一般說来，它的盐度較低，水色低，透明度小；水文要素的季节变化十分明显。在海水运动方面，潮波系从大洋傳来，但是，潮汐的漲落，却比大洋大得多。同时，每个海都有自己的环流形式，其特点是季节变化特別明显，有时它是海流的直接延續。另外，海底及海岸的形态，由于不断的受到沉积和侵蝕作用，故变化大。

根据形态的不同，可以将海分为：地中海（包括陆間海和內陸海）和边缘海两种类型（Ю.М. Шокальский）。

1. 陆間海——界于相邻的两大陆块之間，深度很大，海盆不但分割着大陆的上部，且分割着大陆的基部，有海峡与毗邻的海洋相沟通。例如欧非洲之間的地中海，南北美間的加勒比海和墨西哥湾，亚澳之間的一些陆間海等。

2. 內陸海——深入大陆，其水文要素受大陆影响所支配，虽然与大洋有不同程度的联系，但总的說来，受大洋的影响不大。如渤海、波罗的海、黑海等。

3. 边緣海——位于大陆的边缘，但不深入大陆，以半島、岛屿或群島与大洋分开。因此，它与大洋可以自由地沟通，海流可以直接延伸进来，潮汐可以直接傳进来。其水文状况在外側主要受大洋影响，而内側主要受陆地影响，例如，东海、南海等。

(三) 海湾 洋或海的一部分伸延入陆地，并且其深度和宽度逐渐減小的水域，称为海湾。如渤海湾、杭州湾、芬地湾等等。由于它和邻近的海洋可以自由沟通，所以水文特性一般亦与其相近。

(四) 海峽 两个海区之間宽度較窄的水道，称为海峽。特点是流急，因此底质多为岩石或砂砾。海水的运动。多是沿着海峽的方向，有的由左右侧流入或流出，如渤海海峽，丹麦海峽等；有的则在上下层流入或流出，如博斯普魯斯海峽，直布罗陀海峽等；也有的是向一个方向运动的，如佛罗里达海峽等。

應該注意的是，由于历史的原因，有些名称虽然与上述定义不符，但仍然沿用着，例如阿拉伯海和孟加拉湾，两者实际上是相似的，但一个叫海一个却叫做湾，再如墨西哥湾和加勒比海、波斯湾和紅海等都是这个情况。

§1-4 海洋底的地形和分区

海洋底被海水复盖着，50 多年以前，由于測深技术的限制，关于大洋的深度記錄是稀少而零散的，人們便认为海洋的底形象盆子一样的平坦。回声測深仪应用后，人們开始知道，原来在数千米的深水之下，同样有高原、平地、高山、深谷等等。图 1-3 中的統計曲綫，大致

反应了相应地面的平均倾斜情况，由图看出，在海面以下約一、二百米的范围内，海底的倾斜是十分平缓的，而在此以下，则深度很快的增大，亦就是坡度很快的变陡，再到約三千米的深度，其坡度又忽然变得很平，一直到六千米的地方，才又开始剧速直下。根据海洋底形的这个特点，将它分成大陆棚、大陆斜坡、大洋盆地和海沟等四个部分。其深度范围和所占面积如下表所示：

表 1-1

名 称	深度范围(米)	平均深度(米)	倾 斜 度	占海洋总面积(%)
大陆棚	0—200	50(?)	1°—2°	7.6
大陆斜坡	200—2,500	1,270	4°—7°	11.9
大洋盆地	2,500—6,000	4,420	0°20'—0°40'	77.7
海沟	>6,000	6,100	—	2.8

(一) 海岸带 海岸带是海水和陆地直接作用的地帶，由近到远，可以分成悬崖、后海滩、前海滩(潮間帶或潮区)和外海滩。

悬崖是与海岸带相連的陆地，其基部常有海蝕壁龕，它是岩石被波浪侵蝕的結果，是海陆作用的最远的边界。悬崖只是岩岸才有，对于平原地處的海岸，这一带将被砂堤所代替。

后海滩是平常海水不能达到的地方，只有大风浪和大潮时才能为海水所及。这一带有砂砾，或在烂泥中长有碱水性植物或有碱水池。

前海滩是海水活动的地帶，介于大潮高潮綫和大潮低潮綫之間，为淺海养殖(牡蠣、蛏子、蚶等)的主要地区。

外海滩是低潮綫以下，經常被海水复盖的地帶，其外界为波浪所形成的堆积阶地的边缘。

(二) 大陆棚 大陆棚是陆地与深海的过渡地帶，其特点是坡度小，平均坡度約为 7'，但在某些地方，可达到相当大的角度。大陆棚的地形与附近陆地地形有密切的联系：平原之下，大陆棚坡度小，面积广闊，如北欧及西伯利亚大陆棚的宽度达四、五百浬；高山之下，大陆棚狭窄，例如日本群島东岸，堪察加东岸的大陆棚宽度仅在 8—25 涮之間。

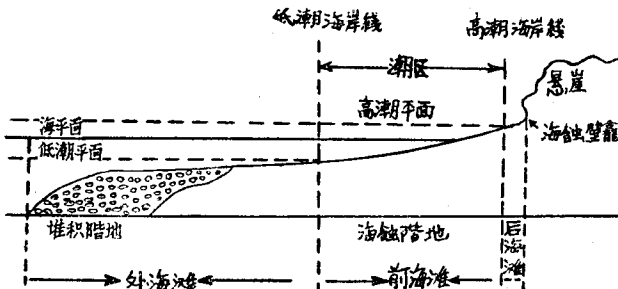


图 1-4 海岸带示意图

大陆棚的底质主要是大陆的泥沙。江河带来的沉积物之中，大部分是泥，因此，位于河口近岸海区由于底质是泥沙，海水的营养盐丰富，为近海渔业与海水养殖造成了最优良的自然条件。如长江口外的嵊泗列島漁場，錢塘江口外的舟山群島的漁場和养殖場，就是例子。

大陆棚的水文状况有显著的季节变化，同时水质肥沃，在海水中含有大量营养盐。因为大陆江河长年累月的带来了淡水，其中溶解有丰富的无机物质，同时由于风、潮汐和流的作用。

用，上下层之間的混和也特別发达，这就使得下面含有丰富营养盐类的海水經常不断的补充到上层。上述种种因素就使大陆棚必然成为漁場和养殖事业的主要場所。

在大陆棚上常常有很复杂的高起或陷落的地形，例如沙滩、砂洲、暗礁以及海底河谷等，在有些海区还發現沉沒的海岸綫。例如秘魯沿岸的河谷，延伸到很大的深度，在3,000米的深处还表現出等深綫的相应的弯曲。在佛罗里达附近淺水区中，40米和60米深处也发现沉沒的海岸綫。

(三) 大陆斜坡 大陆斜坡的地势的特点是傾斜度較大，一般为 $4-7^{\circ}$ ，有时可到 $13-14^{\circ}$ ，例如比斯开湾。在火山島与珊瑚島的岸旁可遇到特別大的傾斜，最大可到 40° ，有时几乎是垂直的。

大陆斜坡沉积，主要是大陆江河带来的，是大陆泥沙沉积所能达到的最远处。各种沉积物的比例大約是：泥占60%，細沙占25%，貝壳和軟泥占5%。在坡度最大的地带，会使疏松的沉积滑向深处，因此在这种地带多为礁石。

大陆斜坡的地形特点是几乎到处都被深邃的峽谷所切割。在美国的西海岸，在非洲、印度、南美洲沿岸和亚洲东部的邊緣海中都发现了这种峽谷。它具有陡峭的谷壁，既狭又长。

(四) 大洋盆地 大洋盆地是海洋的主要部分。地形广闊而平坦，面积占海洋面积的77.7%，傾斜度大約在 $0^{\circ}20'-0^{\circ}40'$ 左右，然而在个别地区，也有較大的斜傾度。底质主要是大洋性的軟泥，如硅藻、放射虫、有孔虫的軟泥等等。这和大陆棚(坡)多为泥沙底有显然的不同。大洋盆地的地形也不是很简单的，其上分布着各种海底山脉(即海岭)或高原(海隆)，它們将整个大洋盆地分割成許多海盆，而在大洋的邊緣，有深达万米的海沟。

(五) 海沟 深度超过6,000米的海洋深处，称为海沟或海渊，它們的位置并不是在远离大陆的大洋深底，相反，都集中在海洋邊緣靠近大陆的地方，其走向与大陆或群島延伸的方向一致，海沟最多的地方，也常常是島屿集中、火山地震和断层最多的地方；太平洋的海沟数量最多，深度最大，而且多数分布在大洋的西边。

除此以外，在海洋学中，还有不少关于凹落和凸起的地形的专门名字，現不一一贅述。

第二章 海洋热学

§2-1 海洋热学概述

海水的热状况在海洋水文状况中占有极重要的地位，它不仅与其他的海洋水文要素有着极为密切的联系，而且对气象状况以及对海洋生物的生存、分布与发展，均有着十分重要的意义。

海水的温度乃是研究水团性质分布及其运动的基本指标之一。由于海水具有与大陆不同的热性质，因此，它在大气的温度变化上，充当着“缓冲剂”的角色。由于这个原因，在气候学上便形成了大陆性气候和海洋性气候。同样在气压的配置，大气的运动以及其他许多的气象要素的分布和变化中，海水温度均起着重要的作用。

至于海水温度对海洋生物的意义，就更是显而易见了。首先，它直接影响着生物的代谢作用和生殖周期的速率等等生活过程，其次，它还通过其他的环境因素，如海水中气体的含量、海水的粘滞性、密度的分布等等而间接地影响着海洋生物。每一种海洋生物对海水温度均有着特殊的要求：有的喜暖水，有的喜冷水；有的能耐受较大的温度变化，有的则只能经受很小的温度变化。根据生物对水温的这种适应特点，而将它们划分为广温性和狭温性两大类别。其实，不仅不同种的生物对温度的适应性各异，就是同一生物的不同发育阶段，对温度的要求也是不同的，由于这个原因，温度的分布特性就成了生物种类分布的一个最重要的限制因素。因此，了解和掌握温度的分布变化规律，在海洋渔业和浅海养殖上具有重要意义。人们在认识了各种海洋生物对温度的特殊适应能力以后，便可以根据海水温度的分布和变化规律结合其他方面的知识，来推测生物的分布情况，这在目前海洋渔业上已经广为采用。

海水传声已经为生产和国防广泛地运用，而决定声音在海水中传布性质的，主要是海水的温度。

所有这些情况表明人们对海水温度的分布和变化规律的掌握，已成为十分迫切的任务。

海水一方面以各种形式增加着自己的热量，另一方面又以各种形式向外散发着自己的热量，这两种相反的过程永恒地同时地在海洋中发生，这种相互对立的过程的统一关系就是海洋的热平衡，它决定着海洋的热状况。

海洋中热量的来源是多方面的，诸如太阳辐射、空气对海面的长波辐射、暖于水温的降水和大陆径流、海面水汽的凝结、地球内部向海水放出的热量、海水中化学过程所放出的热量、海水的动能所转变的热量，最后，甚至还有来自星辰的热量等等。其中有些过程发生在海的表面，有些发生在海水中间，有些则发生在海底，它们对海水热状况的作用是不相同的。

地壳的溫度是隨着離地面距離的增加而升高的，地熱的這種增溫率隨地而異，一般說來大約在數十米左右增加 1°C 。因此，在深達萬米的海底，地溫對海水的溫度無疑將產生一定的影響。但是由於海水體積非常龐大，又處於不斷的運動之中，而使輸入的熱量不斷的散布它處，因此，整個說來，地殼對海水溫度的影響實際上是很小的。據估計，由海底進入水中的熱量為 $50\text{--}80\text{ 卡}/\text{厘米}^2\text{ 年}$ (Helland-Hansen, 1930)，不到輻射熱的千分之一。若海洋平均深度為 $3,800\text{ 米}$ ，則全年平均使水增加十萬分之 $1\text{--}2^{\circ}\text{C}$ 。這種作用只有在比較孤立的、運動較弱的海盆中才能被觀測到，例如在日本海盆和菲律賓海溝中均發現在底層有溫度稍稍上升的現象(表 2-1、2)當與上述原因有關。

由動能轉變為熱能者更少。由風能轉化成的熱能，估計約為輻射能的萬分之一。潮能所轉變成的熱能可能大些，但它主要發生在潮流顯著的淺海，故對整個海洋來說仍微不足道。

根據郎來(Langleg)的計算，由一切星體供給地球的能量 1 分鐘內不到十萬分之一卡。

其他如由化學過程，海面水汽的凝結和海面的降水所提供的熱量也都是十分微小的。至於大陸徑流，它在河流較多的海區影響較大，但對整個海洋來說也可忽略不計。因此，海洋熱量的來源主要是太陽輻射。

海洋失熱的主要形式是海面向外的長波輻射、蒸發以及與冷空氣的湍流熱交換等。關於它們的具體作用將在後面詳細討論。

表 2-1 菲律賓海溝溫度隨深度的分布

深度(米)	0	25	50	100	150	200	400	600	800	1000	1500
溫度($^{\circ}\text{C}$)	28.80	28.50	28.80	25.90	20.58	15.15	8.50	6.48	5.35	4.45	3.18
深度(米)	2000	3000	3500	4000	5000	6000	7000	8000	9000	10000	
溫度($^{\circ}\text{C}$)	2.25	1.64	1.58	1.60	1.78	1.86	2.01	2.15	2.31	2.48	

表 2-2 日本海深層水溫分布

深度(米)	1000	1500	2000	3000	3800
溫度($^{\circ}\text{C}$)	0.12	0.13	0.16	0.21	0.26

§2-2 太陽輻射

太陽是一個灼熱的氣團，表面溫度達 $6,000^{\circ}\text{C}$ ，它以電磁波的形式向外發射著能量，根據維恩定律，太陽輻射的波長，應在 $0.17\mu\text{--}4\mu$ 之間，而以波長為 0.5μ 的光線強度最大。其

中，波长小于 0.36μ 和大于 0.76μ 者都不能为肉眼所见，前者叫紫外线，后者为红外线。在各波长的能量分布中，紫外线占 5%，可见光占 52%，红外线占 43%。

太阳辐射的强弱，在气象学上用太阳辐射强度(I_0)来表示，它等于单位时间内，垂直投射于单位面积上的太阳能通量，单位一般采用卡/厘米²·分。显然，对于地面来说，其通量的大小和入射光线与地平面所成的角度有关，二者相互垂直时，通量最大，平行时为零；同时，与日地之间的距离也有关系，不过影响不大，在近日点(约 1 月 1 日)约大于远日点(约 7 月 2 日)7%，故对水温的分布和变化的影响不大。

太阳光线与地面所成的角度，可以太阳高度(h)表示，所谓太阳高度，就是射于某点的太阳光线与通过该点的水平面所成的角度。单位时间中通过地平面单位面积上的太阳辐射能与太阳高度的正弦成比例：

$$I = I_0 \sin h \quad (2-2.1)$$

尽人皆知，太阳高度(h)在不同的时间(不同的季节和时刻)以及同一时间的不同纬度均不相同。所以 I 的量值，也应随时间和地点而作相应的变化。

另外，一天中的日照时间也是随纬度和季节而变化的。可以证明，在赤道上任何季节的昼夜长短都是相同的；在春(秋)分时，任何纬度上的昼夜长短亦均相等。但除此以外的任何时间和纬度其昼夜长短都不相等：在春分到秋分期间(此时，太阳在北半球)北半球昼长大于 12 小时，夜长小于 12 小时，而南半球恰相反；在秋分到春分期间(此时太阳在南半球)，南半球昼长便大于 12 小时，夜长小于 12 小时，而北半球正相反；这种昼夜长短的差异，随纬度的增高而增大，对于极圈以内的地区，夏季时，便成天阳光普照，而冬季则终日暗无天日(参见 §9-1，图9-5、6 和 7)。

由于上述 I 和日照时间均随纬度和季节而变化，所以一天中的日射总量(等于 I 对一天时间的积分)亦将随纬度和季节而变化。下表是计算而得的一天中日辐射总量在冬至和夏至随纬度的分布情况(单位为卡)。

表 2-3

纬 度	90°N	80°	70°	60°	50°	40°	30°	20°	10°	0°	10°S	20°	30°	40°	50°	60°	70°	80°	90°
夏至	1110	1093	1043	1009	1020	1022	1005	964	900	814	708	585	450	306	170	48	—	—	—
冬至	—	—	—	51	181	327	480	624	756	869	962	1030	1073	1092	1089	1078	1114	1167	1185

从上表中看出：虽然 I 随度而减弱，但由于夏季日照时间随纬度而增加，所以高纬地区一天的辐射总量就显得特别大；太阳辐射的季节变化随纬度而增大；太阳辐射随纬度的变化冬季远大于夏季。

上面讨论的是假设地球没有大气包围的情况，实际上，当太阳光线射达地面时，尚需经过大气这一介质。由于大气(包括水汽和灰尘)的作用，就使得太阳辐射的问题更加复杂了。

首先，当光綫透过大气层时，由于空气(主要是水汽和灰尘)的吸收作用和散射作用，因而使达到地面的辐射能量选择性地受到损失，直达地面的紫外綫几乎絕迹，可見光占40%，红外綫占60%；根据阿波特(G. C. Abbot)和福勒(F. E. Fowle)的計算，太阳辐射透过大气层时被吸收的量占全体的12%。

这样，实际射达地面的太阳辐射，便由两部分組成：一是直接穿过大气而达地面的光綫，叫做太阳的直达辐射；二是太阳辐射中被散射而达到地面的部分，叫做散射辐射。两者之和，叫做太阳的总辐射。

关于全年总辐射量的分布情况，詳見图2-1。

§2-3 海面的有效回辐射

(一) 海洋对辐射能的吸收 到达海面的辐射能，一部分为海面反射，另一部分进入水中。被反射的光綫，一部分属于直达辐射，另一部分属于散射辐射。直达辐射的反射率与太阳高度有关，其变化范围很大，可由夫累涅尔公式計算之(参看第五章)；散射辐射的反射率与太阳高度无关，其变化范围要小得多。因此，总的反射率是太阳高度的函数。对于不同波长，海水的反射率也是不同的，它与海水对光的吸收能力正相反：对于某种波长的吸收能力愈强，则反射能力就愈弱，海水对短波的反射率远大于长波。反射率还与海水透明度有关：透明度愈小，反射率愈大。海洋的反射率，平均約达7%，其值由5%(赤道附近)可变化到10—14%。

进入水中的辐射能，大部分被近表面一薄层海水所吸收，根据斯維爾德魯普計算的結果，当达到海面的热量为1,000卡/厘米²时，在不同透明度下，各深度上的增溫值如下表所示：

表 2-4

深 度 (米)	公 海 地 区		近 岸 地 区	
	大 透 明 度	中 等 透 明 度	中 等 透 明 度	低 透 明 度
0—1	6.24	6.48	7.32	7.72
1—2	0.610	0.720	0.970	0.960
5—6	0.236	0.282	0.164	0.120
10—11	0.104	0.096	0.030	0.014
20—21	0.040	0.030	0.0016	0.0003
50—51	0.0096	0.0024	0.00000034	0.000000015
100—101	0.0016	0.000011	—	—

从表中看出，被海水吸收的热量在深于1米的地方急剧地减少，而在沿岸地区大于20米的深度上和公海地区大于50米的深度上，被吸收的热量已非常少。

(二) 海面的长波辐射和天空逆辐射 任何溫度高于絕對零度的物体，都要向外辐射热能，其能力的大小則視物质的性质和溫度而定，对于絕對黑体，則由斯忒芬-波尔茲曼公式 $I = \sigma T^4$ 确定。 σ 为波尔茲曼常数， T 为絕對溫度。可見海面也要向外进行辐射，但因为海

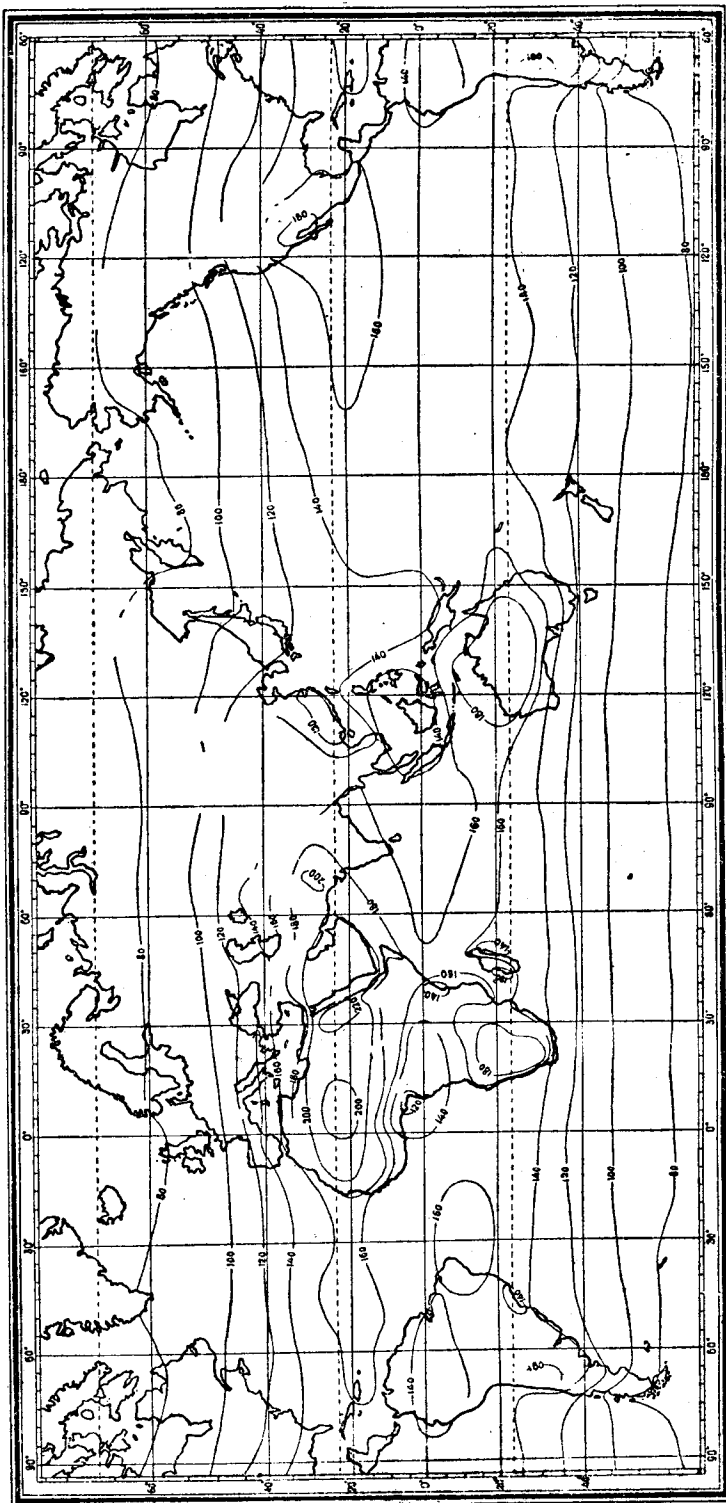


图 2-1 太阳全年总辐射分布(单位:千卡/厘米².年)

面溫度較低(通常不超过 300°T), 其所能輻射的波長在 3μ — 80μ 之間, 所以是長波輻射。

和海面的長波輻射一樣, 當天空中大氣(主要是水汽)吸收海面的長波輻射而溫度增高以後, 也要向外輻射長波, 其中達到海面的輻射能絕大部分又為海面所吸收。所以, 由於大氣的這種逆輻射, 將使海水的熱量散失變緩。

(三) 海面有效回輻射 海面向外的長波輻射與大氣向海面的逆輻射之差, 叫做海面的有效回輻射。有效回輻射的問題很重要, 它在研究海水溫度的日變化和熱量平衡時具有重要的意義。

有效回輻射的量值主要取決於海面的溫度和大氣中的水汽含量: 若水汽含量一定, 則海

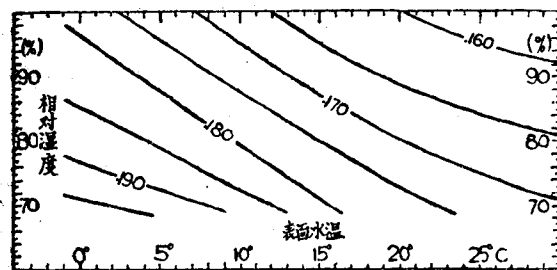


图 2-2 晴天时海面的有效回辐射(单位: 卡/厘米²)

圖中指出這一有效回輻射之量, 為表面水溫與海面上幾米處大氣相對濕度的函數

面溫度愈高, 有效回輻射愈強; 在溫度一定時, 大氣中濕度愈大, 有效輻射愈弱。

圖 2-2 就是斯維爾德魯普根據阿斯秋弄(Ångström)數據繪制的。圖中表明, 當晴天時由於海面水溫的升高, 有效輻射便趨減小, 這是由於空氣中的水汽含量隨水溫升高而增加的原故。

當天空有雲時, 則雲量和雲的性質對有效輻射的影響很大: 雲量愈多, 向海

面的逆輻射就愈強, 因此, 有效回輻射愈小; 當雲層愈密(水滴密度愈大)和愈低(水滴愈大溫度愈高)時, 則有效回輻射也愈小。所以, 在冬天當夜間為陰天時, 早晨出外感到暖和, 而且不易出現霜凍現象; 而當夜間為晴天時, 早晨溫度就較低, 地面有露水或霜凍出現。雲量的這種作用, 犹如花房玻璃的作用一樣, 所以在氣象學上叫做花房效應。

回輻射既與海面水溫及空氣中之水汽量和雲量有關, 因此, 這些因素的分布和變化當然就要影響到它的分布和變化。有效回輻射在不同的緯度和不同的季節及至一天中的不同時間都不相同, 具體情況視當地的水溫和大氣狀態而定。不過總的說來, 有效回輻射的變化相對於短波輻射的變化要小得多。

上面我們談了太陽的直達輻射(Q)、散射輻射(q)、反射輻射(S)、大氣逆輻射(G)和海面長波輻射(g), 前三種屬於短波輻射, 後者屬於長波輻射, 總起來組成了海洋的輻射平衡:

$$B = Q + q + G - S - g \quad (2-2.1)$$

根據上面的討論, 我們知道輻射平衡的分布和變化應該隨太陽高度(時間季節和緯度), 大氣中的水汽和雲量等因素而定。因為不僅太陽輻射, 就是雲量在海洋上也幾成帶狀分布, 所以對於全年的情況來說, 輻射平衡在海洋上也大致成帶狀分布: 隨緯度的降低而增高。從輻射平衡分布圖(圖 2-3)中可以看到, 年輻射平衡在整個海洋上都是正的, 這就是說收入大於支出。如果比較圖 2-1 和 2-3, 則不難發現, 全年有效回輻射的量值, 大約在 40—60 千卡/厘米²·年之間, 低緯地區較小, 隨緯度的增加而有所增加。

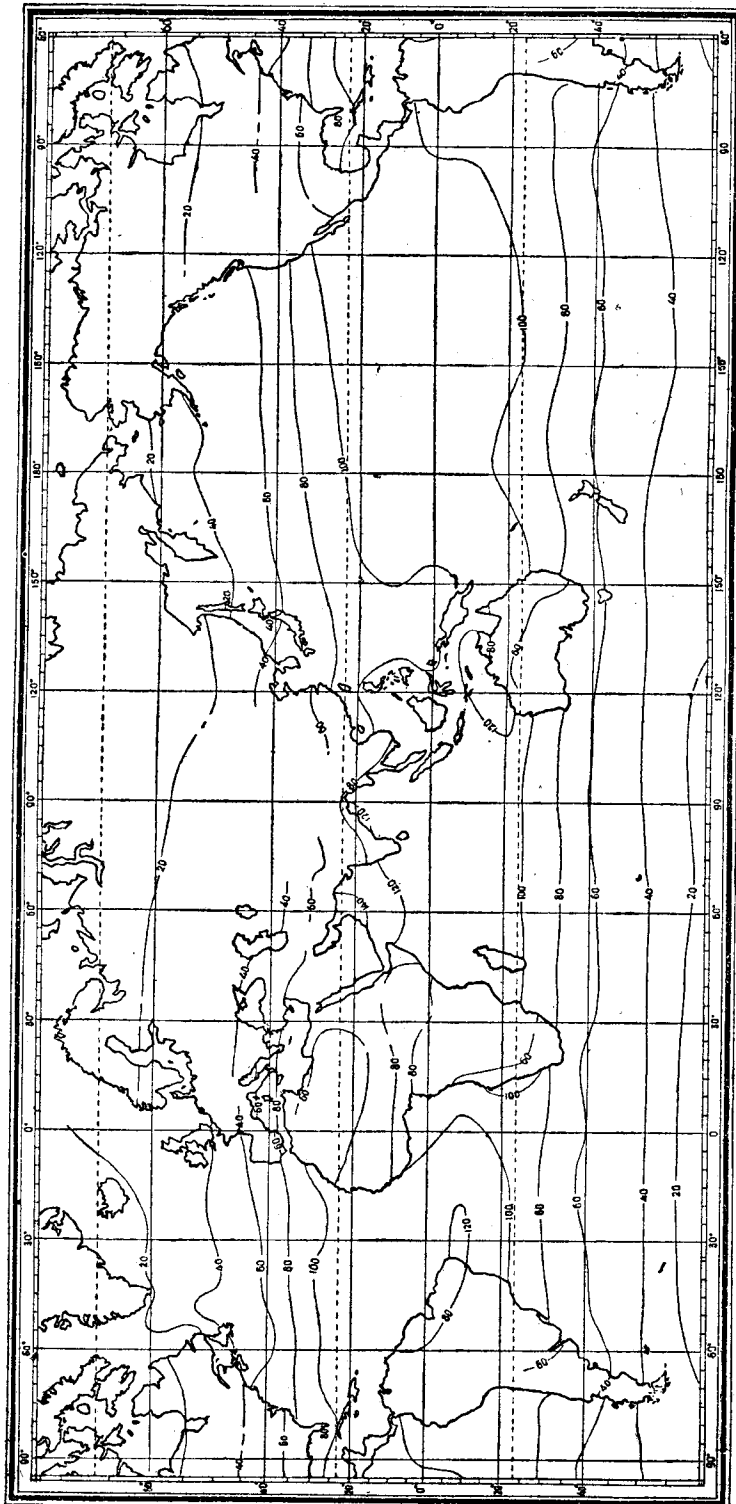


图 2-3 海洋表面的辐射平衡(单位:千卡/厘米².年)